



بررسی خواص کاربردی و ضد میکروبی فیلم‌های ترکیبی نشاسته کاساوا و ژلاتین گاوی تقویت شده با نانو دی اکسید تیتانیوم

امیر حیدری^۱، فاطمه صمیمی هشتگین^۲، عبدالرضا محمدی نافچی^۳

۱. استادیار، گروه مهندسی شیمی، دانشکده فنی و مهندسی، دانشگاه محقق اردبیلی
۲. کارشناس، مواد غذایی معاونت غذا و داروی استان اردبیل
۳. دانشیار، گروه صنایع غذایی، واحد دامغان، دانشگاه آزاد اسلامی

(تاریخ دریافت: ۹۶/۳/۵، تاریخ آخرین بازنگری: ۹۶/۵/۶، تاریخ پذیرش: ۹۶/۵/۷)

چکیده

یکی از بزرگ‌ترین پیشرفت‌های حاصل شده در صنعت بسته بندی مواد غذایی مرتبط با فناوری نانو است. در این پژوهش فیلم‌های خوراکی ترکیبی بر پایه نشاسته کاساوا و ژلاتین گاوی حاوی نانو ذرات دی اکسید تیتانیوم در غلظت‌های ۰، ۱ و ۳٪ و ۵٪ درصد با استفاده از روش کاستینگ تهیه گردید و خواص فیزیکوشیمیایی، مکانیکی و عبوردهی نسبت به بخار آب و اکسیژن مورد بررسی قرار گرفت. نتایج افزایش استحکام کششی و مدول یانگ و همچنین کاهش درصد کشیدگی را به دلیل افزایش غلظت نانو ذرات نشان دادند. خواص فیزیکوشیمیایی (میزان جذب آب و حلالت) و خواص ممانعتی (بخار آب و اکسیژن) با افزایش میزان نانو ذرات دی اکسید تیتانیوم کاهش معنی‌داری ($p < 0.05$) را نشان دادند. فیلم‌های خوراکی نشاسته کاساوا و ژلاتین تقویت شده با نانو دی اکسید تیتانیوم خواص ضد میکروبی خوبی را در مقابل باکتری اشريشا کلی از خود نشان دادند. با توجه به بررسی‌های انجام شده، نانو دی اکسید تیتانیوم توانایی بهبود خواص اساسی فیلم‌های ترکیبی نشاسته کاساوا و ژلاتین را دارا می‌باشند و فیلم‌های حاصله می‌توانند به عنوان فیلم خوراکی و بسته بندی فعال در صنایع غذایی مورد استفاده قرار گیرند.

واژه‌های کلیدی: فیلم نشاسته کاساوا، ژلاتین گاوی، نانو دی اکسید تیتانیوم، خواص مکانیکی، خواص ممانعتی، خواص ضد میکروبی.

۱- مقدمه

در بسته بندی مواد غذایی مورد استفاده قرار گرفته است [۸، ۹].

از این ماده در تصفیه، گندزدایی، رنگ زدایی، بوزدایی، از بین بردن سلول‌های سرطانی و تهیه پوشش‌های محافظ در مقابل اشعه مایعات بنفس و ایجاد درخشندگی استفاده می‌شود. دی اکسید تیتانیوم با جذب اشعه فرابنفش و به واسطه خاصیت فوتوكاتالیستی خود می‌تواند پوششی ضد باکتری روی سطوح ایجاد کند و همچنین مانع از عبور اشعه گردد. فیلم‌های حاصل از ترکیب نانو مواد و بیopolymerها و یا به اصطلاح نانو کامپوزیت‌های بیopolymerی خواص کاربردی مطلوب‌تری از خود نشان می‌دهند که مهم‌ترین آن‌ها افزایش مقاومت مکانیکی و کاهش نفوذ پذیری نسبت به بخار آب می‌باشد [۷، ۱۰]. در مقالات از دی اکسید کربن اکسید تیتانیوم به عنوان یک ترکیب ایمن نامبرده شده است [۱۱، ۱۲].

هدف اصلی از این تحقیق تهیه فیلم‌های ترکیبی نشاسته کاساوا و ژلاتین تقویت شده با نانو ذرات دی اکسید تیتانیوم و ارزیابی جنبه‌های کاربردی فیلم‌های حاضر از دیدگاه صنایع غذایی می‌باشد. زیست تخریب پذیر بودن و شکل پذیری خوب نشاسته کاساوا، مقاومت مکانیکی بالای ژلاتین گاوی ضد میکروبی نانو ذرات دی اکسید تیتانیوم موجب اهمیت کاربرد آن‌ها در تهیه فیلم‌های خوراکی جهت بسته بندی مواد غذایی و داروها می‌باشد. در این مقاله از ژلاتین به عنوان یک ترکیب کمکی برای تقویت فیلم‌های نشاسته استفاده شده است. با توجه به این که ژلاتین را می‌توان از ضایعات صنایع گوشت و شیلات استخراج نمود، نتیجه این تحقیق می‌تواند یک توجیه مناسب برای استفاده از دورریزهای این صنایع در صنعت بسته بندی باشد.

۲- مواد و روش‌ها**۲-۱- مواد**

نانو ذرات دی اکسید تیتانیوم، نشاسته کاساوا و ژلاتین گاوی از شرکت سیگما آلدريچ آلمان خریداری شد. محیط کشت مولر هینتون آگار و محیط کشت نوترینت براث آگار از شرکت مرك آلمان، سویه استاندارد میکروبی (ATCC 8739/PTCC 13330) اشرشیا کولی از مرکز کلکلسویون میکروبی سازمان پژوهش‌های علمی و صنعتی، سایر مواد مورد استفاده از نوع آزمایشگاهی

بسته بندی نقش منحصر به فردی هم در سلامت غذا و همچنین برای مصرف کننده ایفا می‌کند و در نتیجه بسته بندی بخش مهمی از زنجیره غذایی می‌باشد. زیست تخریب پذیری مواد پلاستیکی سنتز شده از مشتقان نفتی بسیار کند بوده و این امر باعث افزایش آلودگی‌های زیست محیطی می‌گردد. به همین دلیل مواد به کار رفته برای بسته بندی غذاها نیز مانند سایر مواد بسته بندی مشکلات جدی را از لحاظ محیط زیست ایجاد می‌کنند. طی سال‌های اخیر یافتن جایگزینی مناسب برای پلاستیک‌های سنتزی توجه محققین را به خود را جلب کرده است. بیopolymerهای خوراکی که از منابع قابل تجدید کشاورزی حاصل می‌شوند گزینه‌ای مناسب در این زمینه به شمار می‌روند که می‌توانند به سهولت در محیط زیست تجزیه شوند [۱، ۲]. در کنار بحث بسته بندی، لایه‌های خوراکی نیز می‌توانند مانع از انتقال رطوبت، اکسیژن و سایر مواد غذایی محلول شوند. از میان لایه‌های خوراکی بر مبنای پروتئین، ژلاتین به خاطر فراورده‌های خوراکی و دارویی مانند اجزای روکش کپسول، گوشت و سوسیس مورد توجه قرار گرفته است [۳]. از طرف دیگر فیلم‌های پلی ساکاریدی مانند فیلم‌های نشاسته اگرچه قیمت پایینی داشته و قابلیت تجدید شوندگی و بازیافت زیستی دارند اما مانع مناسبی در برای نفوذ رطوبت نیستند [۴]. رشد میکروب‌ها روی سطح مواد غذایی دلیل اصلی فساد مواد غذایی و بیماری‌زایی در مصرف کننده می‌باشد و به همین دلیل فیلم‌های خوراکی حاوی مواد ضد میکروبی، موجب مهار رشد باکتری‌ها در سطح مواد غذایی و در نتیجه افزایش ماندگاری آن‌ها می‌شوند [۵].

فناوری نانو می‌تواند در مواردی مانند افزایش مقاومت به نفوذ در پوشش‌ها، افزایش ویژگی‌های ممانعتی، افزایش مقاومت در برابر گرما، گسترش خاصیت ضد میکروبی و سطوح ضد قارچ کارساز باشد [۶]. برخی از بهترین پیشرفتهای در صنعت بسته بندی مواد غذایی مرتبط با فناوری نانو است. افزودن پرکننده‌های با حداقل اندازه در مقیاس نانو به فیلم‌های خوراکی و تولید پلیمرهای زیست نانو کامپوزیت می‌تواند راه حل جدیدی برای صنایع بسته بندی ارائه نماید [۷]. دی اکسید تیتانیوم یکی از اکسیدهای معدنی است در سال‌های اخیر در دنیای نانو به ویژه

۲-۲ روش تهیه فیلم‌های نانو با یوکامپوزیتی
از فیلم‌ها و سرعت جداسازی به ترتیب ۵۰ میلی‌متر و ۳۰ میلی‌متر بر دقيقه بود. کش آمدگی تا نقطه شکست و استحکام کششی در نقطه پاره شدن و همچنین مدول یانگ توسط نرم افزار 32 TextureExponent محاسبه شد. برای هرمنونه ۸ تکرار مورد ارزیابی قرار گرفت.

۱۵- نفوذ پذیری بخار آب

برای این تست از روش اصلاح شده کاپ گراومتریک طبق روش استاندارد ملی آمریکا ASTM E96-05 استفاده شد [۱]. در این آزمون کاپ‌ها با آب پر شدند طوری که حدود ۰/۵ سانتی‌متر بین سطح فیلم و آب فاصله باشد. فیلم‌ها به اندازه دهانه کاپ بریده شدند و به کمک خمیر بر روی کاپ گله داشته شدند. دمای آزمایشگاه 25 ± 1 درجه سانتی‌گراد می‌باشد. در ابتدا وزن اولیه کاپ‌ها با ترازو با دقت ۰/۰۰۰۱ نانوگرمی شد و سپس درون دسیکاتور که با سیلیکاژل برای نولید رطوبت نسبی صفر درصد پر شده بود قرار گرفتند. پس از آن هر ۲ ساعت یک بار کاپ‌ها توزین شد و تا ۷ نقطه این روند ادامه داشت. سپس از نمودار وزن به دست آمده در مقابل زمان برای تعیین نرخ عبور بخار آب (گرم بر سطح به ازای واحد زمان) استفاده شد. شیب قسمت خطی این نمودار نشان دهنده مقدار حالت پایدار نفوذ بخار آب از میان فیلم می‌باشد. عبوردهی بخار آب فیلم از ضرب کردن نرخ عبور بخار آب در خاصمت متوسط فیلم تقسیم بر اختلاف فشار بخار آب در دو سطح فیلم محاسبه می‌شود.

تغییرات وزن کاپ
زمان × سطح عبور فیلم = نرخ عبور بخار آب

ضخامت متوسط \times نرخ عبور بخار آب
= عبوردهی بخار آب

۶- حلالیت فیلم‌ها

حالیت فیلم‌ها در آب بر طبق نظر مایزورا و همکاران و
قدرتی تغییرات تعیین شد [۱۶]. تکه‌های از فیلم (۶۰۰
سیلی گرم) بریده شده در یک دسیکاتور با رطوبت نسبی صفر
درصد به مدت ۲۴ ساعت در دمای ۴۰ درجه سانتی گراد حرارت

۲-۲ روش تهیه فیلم‌های نانو با یوکامپوزیتی

محلول‌های نانو ذرات با نسبت‌های ۱، ۳ و ۵ درصد کل مواد جامد فیلم به ترتیب $۰/۰۴$ ، $۰/۱۲$ و $۰/۲۰$ گرم نانو دی اکسید تیتانیوم، در ۱۰۰ میلی لیتر آب پراکنده و در ۶۰°C سانتی‌گراد با تکان دادن مداوم برای ۱ ساعت گرما داده شد و سپس برای ۲۴ ساعت بدون حرارت بر روی شیکر قرارداده شد. در ادامه محلول‌ها به مدت یک ساعت در حمام اولتراسونیک یکنواخت شدند. به ۱۰۰ میلی لیتر از هر کدام از محلول‌های فوق که حاوی درصد مشخصی از نانو ذرات می‌باشند، ۳/۶ گرم نشاسته کاساوا، $۰/۴$ گرم ژلاتین به همراه $۱/۶$ گرم گلیسرول به عنوان نرم کننده اضافه شده و با هم مخلوط شدند. انتخاب این مقدار از نرم کننده بر اساس مطالعات گذشته مبتنی بود [۱۳]. این مخلوط به مدت یک ساعت در دمای ۸۵°C درجه سانتی‌گراد برای کامل شدن ژلاتیناسیون حرارت داده شد و سپس تا دمای ۳۰°C درجه سانتی‌گراد سرد شد. مقدار ۹۰ گرم در پلیت‌هایی به ابعاد ۱۶×۱۶ سانتی‌متر مربع ریخته شده و در دمای محیط خشک شدند. فیلم‌های خشک شده از سطح پلیت‌ها جدا شدند و در ۲۳ ± ۲ درجه سانتی‌گراد و با رطوبت نسبی ۵۰ ± ۵ درصد داخل دسیکاتور نگهداری شدند. نمونه شاهد بدون افودن نانو ذرات عیناً شبیه مراحل فوق تهیه شد. تمام فیلم‌ها در سه مرتبه آماده شدند.

٢-٣- ضخامت فلم

ضخامت فیلم‌ها به کمک ریزسنج با دقت ۱/۰ میلی‌متر به طور تصادفی در پنج موقعیت تعیین و میانگین آن‌ها برای محاسبات استفاده شد.

۲-۴- ویژگی‌های مکانیکی

استاندارد ASTM D882-10 برای تعیین کردن ویژگی‌ها مکانیکی در شرایط استاندارد مورد استفاده قرار گرفت [۱۴]. نوارهای فیلم به طول ۱۰۰ میلی‌متر و عرض ۲۰ میلی‌متر بریده شد و به مدت ۴۸ ساعت در دمای ۲۳ درجه سانتی‌گراد و رطوبت نسبی ۵۳ درصد مشروط شدند. طول مورد سنجش

اسید سولفوریک ۱ درصد و کلرید باریم ۱/۱۷۵ درصد برای بهدست آوردن یک محلول سولفات باریم با دانسیته نوری خاص تهیه می‌شود. به طور معمول استاندارد ۰/۵ مک فارلنده که حاوی ۹/۹۵ میلی‌لیتر اسید سولفوریک ۱ درصد و ۰/۰۵ میلی‌لیتر کلرید باریم ۱/۱۷۵ درصد می‌باشد بیشتر کاربرد دارد. استاندارد مک فارلنده دورتی معادل با یک سوسپانسیون باکتری حاوی $1/5 \times 10^8$ CFU/ml ایجاد می‌کند. برای تهیه سوسپانسیون میکروبی نیاز به کشت ۲۴ ساعته از هر باکتری می‌باشد، بنابراین ۲۴ ساعت قبل از آزمایش از کشت ذخیره به محیط کشت شیب‌دار نوترینت آگار تلقیح انجام گردید سپس سطح کشت با محلول رینگر شسته شده و سوسپانسیون غلیظ میکروبی حاصل تا برابر شدن دورت محلول با دورت محلول ۰/۵ مک فارلنده دارای جذب نوری ۱۳۲ و درصد عبور نور ۷۴/۳ در طول موج ۶۰۰ نانومتر، با رینگر رقیق گردید [۱۹].

۲-۹-۲- بررسی اثر ضد میکروبی فیلم‌ها

در این تحقیق اثرات نانو دی اکسید تیتانیوم در فیلم‌های نشاسته کاسawa و ژلاتین حاوی نانو دی اکسید تیتانیوم بر سنتیک رشد میکروبی باکتری اشرشیا کلی مورد بررسی قرار گرفت. به منظور بررسی اثر ضد میکروبی فیلم نشاسته کاسawa و ژلاتین حاوی نانو دی اکسید تیتانیوم بر باکتری‌های مورد بررسی، از کشت خطی و روش فلاسک استفاده گردید [۲۰]. برای این کار در شرایط استریل و در زیر هود، محیط کشت‌ها آماده گردید و معادل ۰/۵ مک فارلنده از باکتری‌های تهیه شده به‌وسیله میله L شکل استریل در سطح محیط کشت، به صورت خطی کشت داده شد. بعد از گذشت ۲۴ ساعت فیلم‌های حاوی درصدهای متفاوت نانو دی اکسید تیتانیوم که با استفاده از پنس به محیط کشت مایع وارد گردید و مقدار ml ۰/۴ توئین و ml ۰/۱ از محیط کشت نوترینت براحت به آن اضافه گردید. سپس مقداری از محلول را درون سل ریخته و جذب اندازه‌گیری می‌شود. هر دو ساعت یکبار تا هنگامی که رشد باکتری‌ها به مرحله مرگ برسد، این کار انجام می‌شود. این عملیات با گذشت ۴۸ ساعت به پایان رسید.

داده شده و سپس درون بشر با ۱۰۰ میلی‌لیتر آب دیونیزه قرار داده شد. این نمونه‌ها با تکان خوردن‌های دائمی به مدت ۲۴ ساعت در دمای اتاق به همزده شدند. سپس مخلوط فیلم و آب بر روی یک کاغذ صافی که قبلاً به وزن ثابت رسیده و دقیقاً توزین شده بود صاف شد. کاغذ صافی به همراه نمونه تا رسیدن به وزن ثابت در دمای ۴۰ درجه سانتی‌گراد قرار داده شد. درصد حلایت فیلم‌ها با توجه به میزان کاهش وزن در آب تقسیم بر وزن فیلم خشک شده اولیه محاسبه گردید.

۷-۲- ظرفیت جذب آب

برای بررسی میزان ظرفیت جذب آب تکه‌های از فیلم ۲×۲ سانتی‌متر) بریده شده و به مدت ۲ روز در دسیکاتور با رطوبت نسبی صفر درصد قرار داده شد. نمونه‌ها با ترازویی با دقت ۱۰۰۰ توزین گردیده و درون دسیکاتوری که زیر آن آب قرار دارد، گذاشته می‌شود. بعد از ۲۴ ساعت نمونه‌ها توزین شدند و ظرفیت جذب آب از تقسیم وزن آب جذب شده به وزن خشک فیلم به‌دست آمد [۱۷].

۸- نفوذ پذیری به اکسیژن

اندازه‌گیری نفوذ پذیری فیلم‌های وسیله (Minneapolis, USA) Mocon Oxtran 2.21 نفوذ پذیری WinPermTM و با کمک روش استاندارد ASTM D3985-05 نفوذ پذیری به اکسیژن به‌دست آمد [۱۸]. فیلم‌ها در پوشش‌های فویل آلومینیوم با یک فضای باز ۵ سانتی‌متر مربع قرار داده شدند و روی یک سل دیفوزیون قرار داده شدند. آزمون‌ها در دمای ۲۵ درجه سانتی‌گراد، فشار اتمسفری و رطوبت نسبی ۵ درصد انجام شد. اکسیژن منتقل شده از میان فیلم‌ها با استفاده از حمل کننده گاز (N_2/H_2) به سنسورهای کالمتریک عبور داده می‌شود. ضریب نفوذ پذیری بر اساس نرخ انتقال اکسیژن در حالت ثابت با در نظر گرفتن ضخامت فیلم محاسبه گردید. نتایج از روی نرم افزار دستگاه قرائت می‌شود.

۹- ارزیابی خواص ضد میکروبی

۹-۱- تهیه سوسپانسیون میکروبی ۰/۵ مک فارلنده استانداردهای مک فارلنده با افزودن حجم خاصی از محلول

افزایش یافت ($p < 0.05$). افزایش در مقاومت کششی یک معیار اساسی و ضروری برای کاربردهای بسته بندی مواد غذایی است زیرا مقاومت کششی بالا به فیلم های بسته بندی اجازه می دهد که در برابر فشارهای نرمائی که در طی جابه جایی غذا، بارگیری و حمل و نقل مواجه می شوند مقاومت کنند [21]. میزان درصد کشیدگی فیلم ها با افزایش غلظت نانو دی اکسید تیتانیوم از حدود ۲۳/۷۰ تا ۱۵/۶۳ درصد، کاهش معنی داری ($p < 0.05$) می یابد. نانو ذرات دی اکسید تیتانیوم استرس را به طور موثری به ماتریکس پلیمری منتقل می کنند که سبب افزایش قدرت و سفتی کامپوزیت می شود. مدول یانگ (نسبت تنش به کرنش در ناحیه خطی) نیز با افزایش غلظت نانو دی اکسید تیتانیوم از ۰/۷۶ تا ۱/۱۶ مگاپاسکال، افزایش معنی داری ($p < 0.05$) نشان می دهد.

۳-۳- قابلیت میزان جذب آب
شکل (۴) قابلیت میزان جذب آب را برای فیلم های نشاسته کاساوا و ژلاتین حاوی نانو دی اکسید تیتانیوم را نشان می دهد. با اضافه کردن نانو ذرات در فیلم های نشاسته کاساوا و ژلاتین میزان جذب آب از ۴/۶۴ تا ۲/۱۸ گرم آب به ازای هر گرم ماده خشک) به طور معنی داری ($p < 0.05$) کاهش می یابد. در این تحقیق، به دلیل اندازه خیلی کوچک نانو ذرات، آنها به آسانی می توانند فضاهای خالی ماتریس فیلم خلل و فرج دار را پر کنند؛ لذا پخش آسان آب یا رطوبت مشکل می شود، در نتیجه سبب کاهش خاصیت آبدوستی فیلم های نشاسته کاساوا و ژلاتین می شود. بر اساس مطالعات گزارش شده،

۲- تجزیه و تحلیل آماری

آزمون های تجزیه و تحلیل واریانس یک راهه و آزمون دانکن برای ویژگی های فیزیکی و مکانیکی، و پارامترهای مختلف در میان انواع مختلف فیلم در سطح معنی دار ۹۵ درصد به کار برده شد. تجزیه و تحلیل با استفاده از گراف پد پریزم ۶ و ترسیم نمودارها با نرم افزار اکسل انجام شد. داده ها بیانگر میانگین \pm انحراف معیار می باشند. مشابه بودن حروف لاتین بیانگر عدم وجود اختلاف معنی دار بین میانگین ها در سطح احتمال ۵ درصد می باشد.

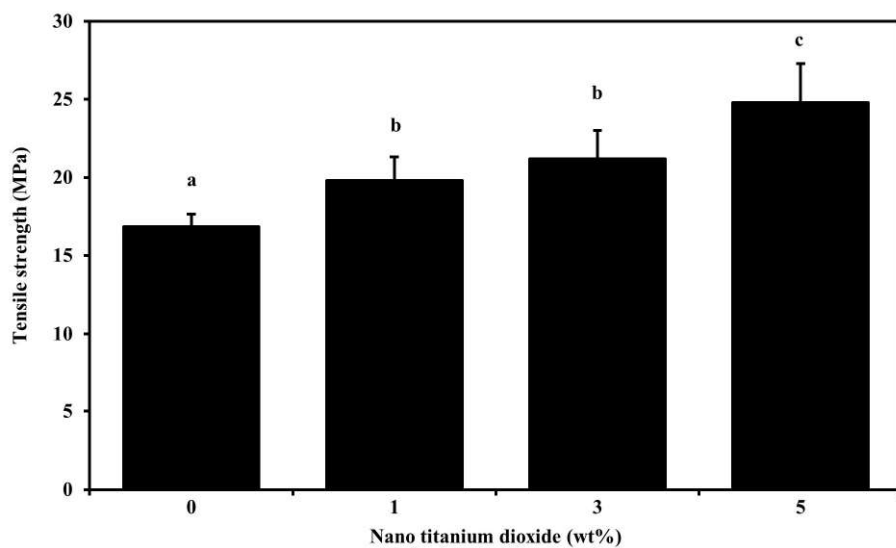
۳- نتایج و بحث

۳-۱- ارزیابی کیفی فیلم زیست تخریب پذیر خوراکی
فیلم های تهیه شده کاملاً یکنواخت بودند و به راحتی از سطح پلیت جدا شدند. مقادیر میانگین ضخامت کلی فیلم ها در جدول (۱) نشان داده شده است. همان طور که مشاهده می شود فیلم ها ضخامت یکنواختی داشته و افروden نانوذرات تاثیری بر ضخامت نمونه ها نداشته است.

۳-۲- بررسی انر نانو دی اکسید تیتانیوم بر خواص مکانیکی فیلم های نشاسته کاساوا و ژلاتین
نتایج خواص مکانیکی فیلم های تهیه شده از نشاسته کاساوا و ژلاتین تقویت شده با نانو دی اکسید تیتانیوم در شکل های ۱-۳ نشان داده شده است. هنگامی که غلظت نانو دی اکسید تیتانیوم در فیلم از صفر تا ۵ درصد افزایش می یابد، مقاومت به کشش این فیلم ها از ۲۴/۷۹ تا ۱۶/۸۶ مگاپاسکال به صورت

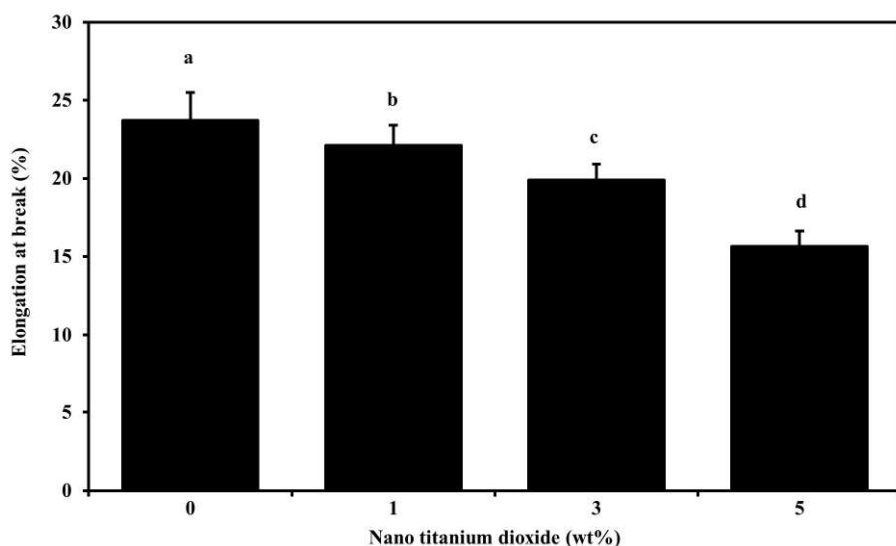
جدول (۱) میانگین ضخامت فیلم های نشاسته کاساوا و ژلاتین حاوی نانو دی اکسید تیتانیوم
Table 1 The average thickness of cassava starch and bovine gelatin films with nano titanium dioxide

نمونه Sample	ضخامت متوسط (میلی متر) Average thickness (mm)
۰ درصد نانو دی اکسید تیتانیوم 0% nano titanium dioxide	۰.۱۲±۰.۰۱a
۱ درصد نانو دی اکسید تیتانیوم 1% nano titanium dioxide	۰.۱۲±۰.۰۳a
۳ درصد نانو دی اکسید تیتانیوم 3% nano titanium dioxide	۰.۱۳±۰.۰۲a
۵ درصد نانو دی اکسید تیتانیوم 5% nano titanium dioxide	۰.۱۳±۰.۰۱a



شکل (۱) نمودار مقاومت به کشش فیلم‌های نشاسته کاساوا و ژلاتین با غلظت‌های مختلف نانو دی اکسید تیتانیوم

Fig. 1 Tensile strength at break of the cassava starch and bovine gelatin films with different nano titanium dioxide contents



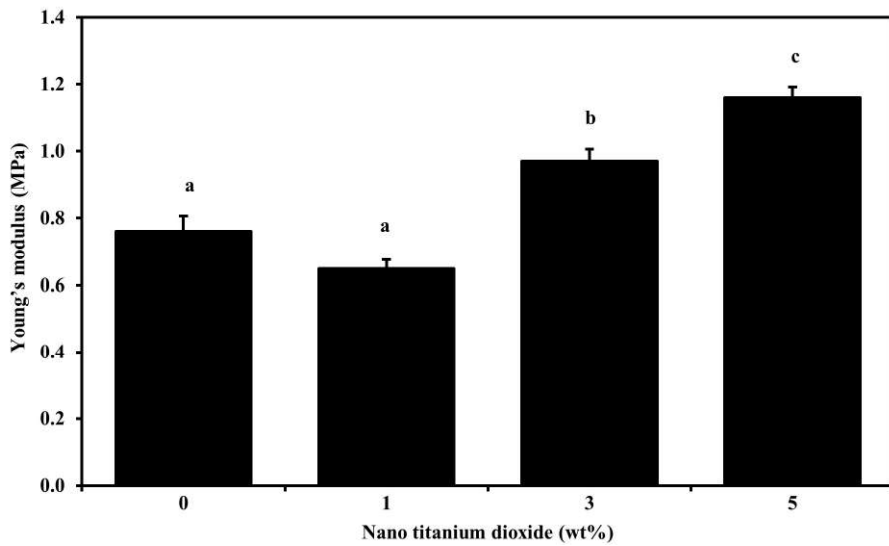
شکل (۲) نمودار درصد کشیدگی فیلم‌های نشاسته کاساوا و ژلاتین با غلظت‌های مختلف نانو دی اکسید تیتانیوم

Fig. 2 Elongation at break of the cassava starch and bovine gelatin films with different nano titanium dioxide contents

۴-۳ حلایت در آب

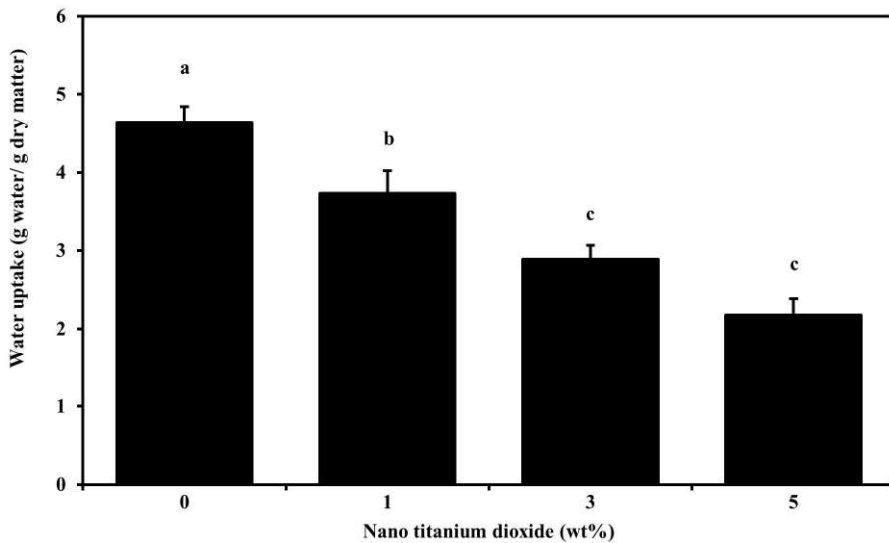
حلایت در آب یک فاکتور مهم در تعریف کاربردهای ممکن برای فیلم‌های بیو پلیمر کامپوزیت است. بیشتر با یو پلیمرها در حالت طبیعی خود به رطوبت حساس و محلول در آب هستند که می‌توان با روش‌های مختلف مانند گنجاندن نانو ذرات یا با ایجاد پیوندهای عرضی حلایت را کاهش داد. همان گونه که از نتایج شکل (۵) مشخص است با اضافه کردن ذرات نانو دی اکسید تیتانیوم در فیلم‌های نشاسته کاساوا و ژلاتین،

افزایش محتوی نانو ذرات دی اکسید تیتانیوم در فیلم سبب افزایش باندهای هیدروژن بین دی اکسید تیتانیوم و اجزای ماتریکس است بنابراین مولکول‌های آب آزاد، در تعامل شدید با اجزای فیلم‌های نانو با یو کامپوزیت نیستند. محمدی نافچی و همکاران، نیز برای فیلم ژلاتین یا نشاسته با افزودن نانو دی اکسید روی کاهش جذب آب را نتیجه گرفتند که به واسطه پیوند هیدروژنی بین نانو ذرات اکسید روی و ماتریس پلیمر می‌باشد [۴].



شکل(۳) نمودار مدول یانگ فیلم‌های نشاسته کاساوا و ژلاتین با غلظت‌های مختلف نانو دی اکسید تیتانیوم

Fig. 3 Young's modulus of the cassava starch and bovine gelatin films with different nano titanium dioxide contents

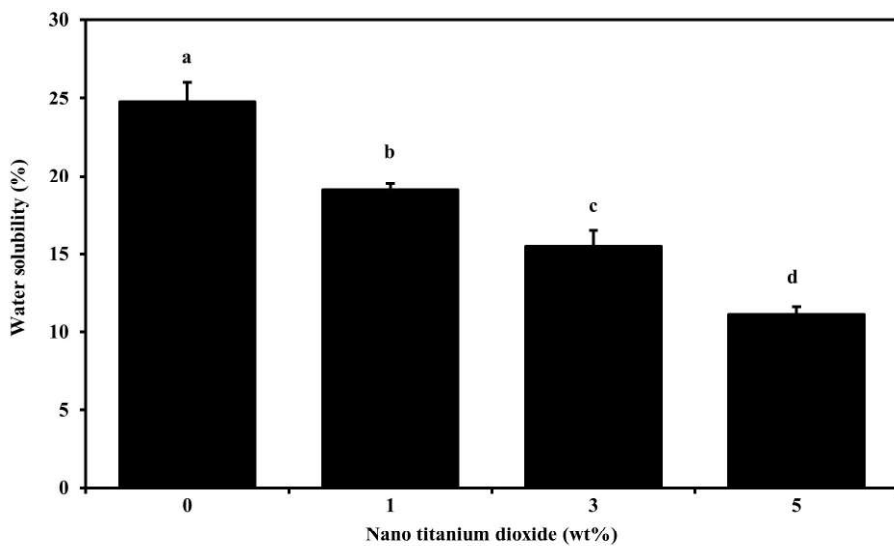


شکل(۴) میزان جذب آب فیلم‌های نشاسته کاساوا/ژلاتین، با غلظت‌های مختلف نانو دی اکسید تیتانیوم

Fig. 4 Water uptake of the cassava starch and bovine gelatin films with different nano titanium dioxide contents

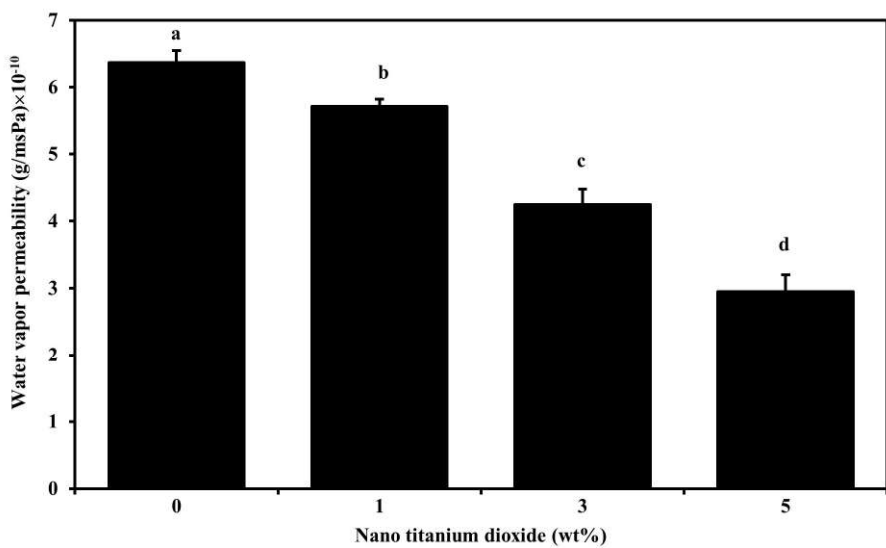
۳-۵- تعیین میزان نفوذ پذیری به بخار آب حلایت فیلم‌ها از ۲۴/۷۵ تا ۱۱/۱۲ درصد به‌طور معنی‌داری کاهش می‌یابد. جذب رطوبت به دلیل گروه‌های هیدروکسیل موجود در نشاسته است که با آب پیوند برقرار می‌کند. در این تحقیق با افزودن نانو ذرات در ماتریکس بایوپلیمر گروه‌های هیدروکسیل قابل دسترس برای مولکول‌های آب کاهش پیدا می‌کنند. در نتیجه سبب کاهش خاصیت آبدوستی فیلم‌های نشاسته کاساوا و ژلاتین می‌شوند. مورد مشابهی توسط تانک و همکاران برای تاثیر نانوذرات‌گزارش شده است [۲۲].

یکی از مهم‌ترین عملکردهای بسته بندی غذا، جلوگیری و یا به حداقل رساندن انتقال رطوبت بین غذا و محیط اطراف است. سپس نفوذ پذیری بخار آب باید به کمترین حد ممکن برسد، تا محیط بسته بندی غذا بهینه سازی شده و عمر بالقوه محصول غذایی بر روی قفسه‌ی مغازه‌ها افزایش یابد [۲۳]. شکل (۶) نشان دهنده نفوذ پذیری نسبت به بخار آب فیلم‌های کاساوا و ژلاتین، با درصدهای مختلف از نانو ذرات دی اکسید تیتانیوم



شکل(۵) میزان حلایت در آب فیلم‌های نشاسته کاساوا و ژلاتین، با غلظت‌های مختلف نانو دی اکسید تیتانیوم

Fig. 5 Water solubility of the cassava starch and bovine gelatin films with different nano titanium dioxide contents



شکل(۶) میزان نفوذ پذیری به بخار آب فیلم‌های کاساوا و ژلاتین با غلظت‌های مختلف نانو دی اکسید تیتانیوم

Fig. 6 Water vapor permeability of the cassava starch and bovine gelatin films with different nano titanium dioxide contents

فیلم‌های آن‌ها نفوذ پذیری بالایی نسبت به بخار آب دارند و این حساسیت نسبت به رطوبت باعث ایجاد تغییر در خواص کاربردی فیلم‌های پلی ساکاریدی در شرایط محیطی مختلف شده و در نتیجه کاربرد این فیلم‌ها در شرایط مختلف بهویژه در رطوبت‌های نسبی بالا را محدود می‌سازد. هنگامی که نانو ذرات در ماتریکس پلیمری وجود دارد، یک ملکول آب باید ذره در ماتریکس پلیمری وارد شود. مسیر ایجاد می‌کند [۲۴]. بازدارندگی ضعیف مولکول‌های آب را ایجاد می‌کند [۲۴]. بازدارندگی ضعیف نسبت به بخار آب از عیوب‌های اساسی فیلم‌های پلی ساکاریدی به حساب می‌آید و به علت ماهیت آبدوست پلی ساکاریدها، [۲۵]. همان‌طور که در شکل (۶) مشاهده می‌شود خاصیت می‌باشد. بعد از اضافه کردن نانو ذرات کاهش قابل توجهی در میزان نفوذ پذیری به بخار آب ایجاد شد که می‌توان به مقاومت بیش‌تر از نانو ذرات دی اکسید تیتانیوم در مقایسه با ماتریکس بایوکامپوزیت نسبت داد. بنابراین تلفیقی از نانو ذرات به ماتریکس یک مسیر غیر مستقیم برای عبور از میان مولکول‌های آب را ایجاد می‌کند [۲۴]. بازدارندگی ضعیف نسبت به بخار آب از عیوب‌های اساسی فیلم‌های پلی ساکاریدی به حساب می‌آید و به علت ماهیت آبدوست پلی ساکاریدها،

بررسی کردند و نشان دادند که نفوذپذیری اکسیژن با زیاد شدن پلاستیسایزر افزایش می‌یابد و این روند را به افزایش در تحرک زنجیره‌ای پلیمری در حضور پلاستیسایزر نسبت دادند. از طرفی مشاهده کردند با افزایش نانو رس در ماتریکس نفوذپذیری به اکسیژن کاهش پیدا می‌کند [۲۹].

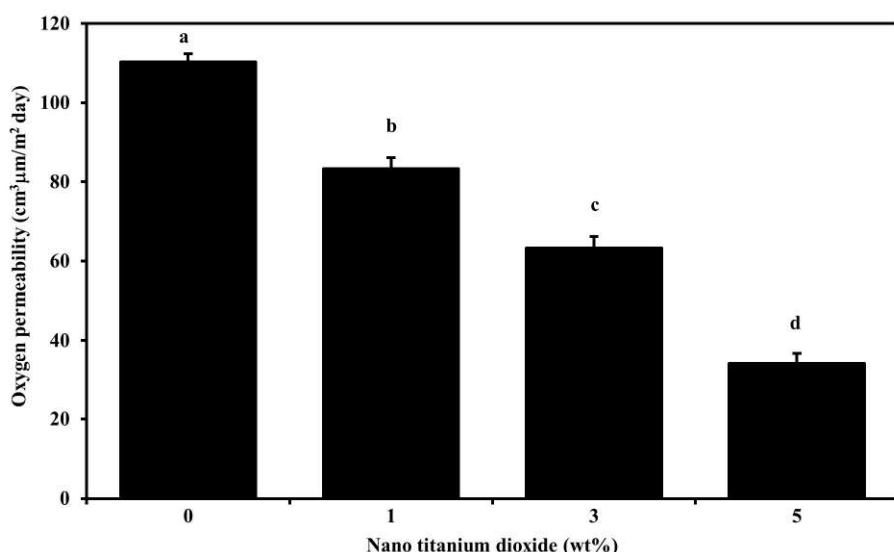
۳-۷- بررسی اثر نانو ذرات بر خواص ضد میکروبی فیلم‌های نشاسته کاساوا و ژلاتین

فیلم‌های خوراکی می‌توانند حاوی آنتی‌اکسیدان و مواد ضد میکروبی باشند. چندین سال است که برای تاخیر یا جلوگیری از رشد میکرووارگانیسم‌ها برای خیلی غذاها پوشش هایی در نظر گرفته شده است. رشد میکروبی تا حد زیادی یک پدیده سطحی است و بنابراین با محدود کردن رشد باکتری‌ها بر روی سطح غذاها عمر مفید بهبود پیدا خواهد کرد [۳۰]. شکل (۸) اثر نانو دی اکسید تیتانیوم بر میزان رشد میکروبی (اشریشیا کلی) بر روی فیلم‌های نشاسته کاساوا و ژلاتین را نشان می‌دهد. مشاهده می‌شود با افزایش محتوی نانو ذرات دی اکسید تیتانیوم میزان رشد میکروبی به طور قابل توجهی کاهش پیدا می‌کند. هر چه سنتیک رشد میکروبی کاهش پیدا کند حاکی از بازدارندگی بیشتر است چون فاز تاخیری طولانی تر شده و فاز لگاریتمی کاهش می‌یابد، به عبارتی نانو ذرات رس

نفوذپذیری با افزایش غلظت نانو ذرات دی اکسید تیتانیوم از ۶/۳۷ تا ۲/۹۵ $\text{g}/\text{msPa}^{10}$ ، کاهش یافت. نانو ذرات به دلیل اندازه خیلی کوچک خود به آسانی می‌توانند فضاهای خالی ماتریکس فیلم خلل و فرج دار را پر کنند لذا پخش آسان آب یا رطوبت مشکل می‌شود [۲۶، ۲۷]. همچنین این مسیر پیچ در پیچ اطراف لایه‌های نانو، مولکول‌های نفوذ کننده را وارد می‌کند که از یک مسیر طولانی از میان فیلم عبور کنند [۲۸].

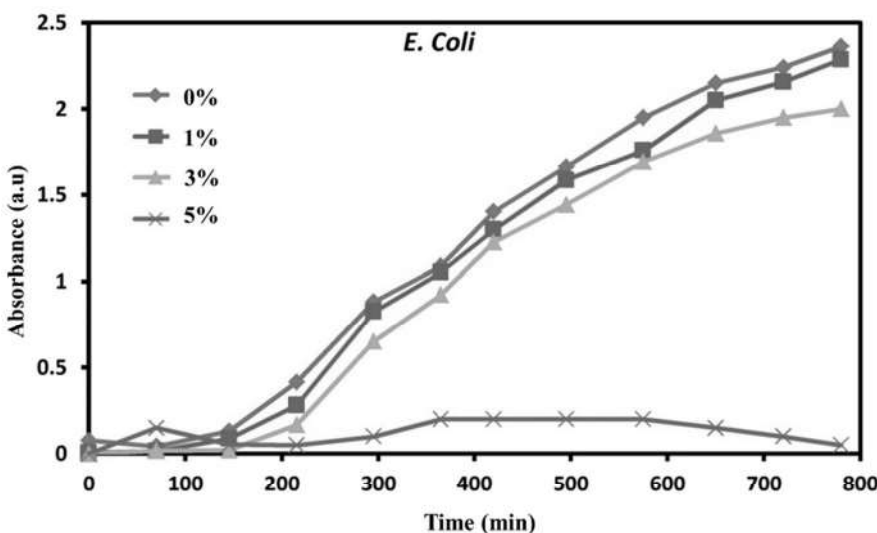
۳-۸- نفوذ پذیری نسبت به اکسیژن

با یوپلیمرها به دلیل وجود تراکم و فشردگی بالا بین زنجیره‌ها، وجود مقدار زیاد پیوندهای هیدروژنی، وجود حالت نیمه کریستالی، بازدارندگی عالی در مقابل اکسیژن دارند و همین امر استفاده از آن را در بسته بندی میوه‌ها و سبزی‌ها جهൂ کاهش سرعت تنفس و افزایش ماندگاری میسرمی‌سازد. همان‌طور که در شکل (۷) نشان داده شده است با افزایش غلظت نانو دی اکسید تیتانیوم، میزان نفوذپذیری به اکسیژن از ۱۱۰/۳۳ $\text{cm}^3/\mu\text{m}^2 \text{ day}$ تا ۳۴/۰۱ $\text{cm}^3/\mu\text{m}^2 \text{ day}$ کاهش معنی‌دار پیدا می‌کند که با نتیجه به دست آمده از کار زپا و همکاران مطابقت دارد. آن‌ها اثر پلاستیسایزر را بر ویژگی ممانعی گاز اکسیژن در فیلم زیست تخریب پذیر نشاسته به همراه نانو ذرات رس



شکل (۷) میزان نفوذ پذیری به اکسیژن فیلم‌های کاساوا و ژلاتین با غلظت‌های مختلف نانو دی اکسید تیتانیوم

Fig. 7 Oxygen permeability of the cassava starch and bovine gelatin films with different nano titanium dioxide contents



شکل(۸) نمودار مدول یانگ فیلم‌های نشاسته کاساوا و ژلاتین با غلظت‌های مختلف نانو دی اکسید تیتانیوم

Fig. 8 Young's modulus of the cassava starch and bovine gelatin films with different nano titanium dioxide contents

اکسید تیتانیوم از طریق کاهش سرعت رشد و طولانی کردن فاز تاخیری میکروارگانیسم‌ها و یا غیرفعال کردن، سبب نابودی میکروارگانیسم‌ها می‌گردد. غلظت ۵ درصد نانو دی اکسید تیتانیوم بیشترین سطح بازدارندگی نسبت به باکتری اشريشيا كلى را نشان می‌دهد. همان‌گونه که مشاهده می‌شود با افزایش محتوی نانو ذرات سنتیک رشد میکروبی بهطور قابل توجهی کاهش پیدا می‌کند. بنابراین می‌توان گفت که فیلم‌های حاوی این نانو ذرات می‌توانند همانند یک بسته بندی فعال علوه بر این که خوراکی هستند خاصیت ضد میکروبی خوبی را در برابر باکتری اشريشيا كلى از خود نشان دادند. در مجموع، این پژوهش نشان می‌دهد که فیلم نشاسته کاساوا و ژلاتین، به همراه نانو دی اکسید تیتانیوم پتانسیل خوبی را به عنوان فیلم‌های فعال دارد.

۰ تا ۵ درصد در بافت فیلم نشاسته کاساوا و ژلاتین وارد شده و خواص عمومی و اختصاصی فیلم‌های خوراکی ارزیابی شد. بر اساس نتایج بدست آمده از این پژوهش نانو ذرات دی اکسید تیتانیوم با موفقیت باعث کاهش نفوذ پذیری به بخار آب و اکسیژن شدند و همچنین به خوبی خواص مکانیکی فیلم‌ها را افزایش دادند. افزودن این نانو ذرات سبب کاهش میزان قابلیت جذب آب و حلالیت این فیلم‌ها شده است. این فیلم‌ها علاوه بر این که خوراکی هستند خاصیت ضد میکروبی خوبی را در برابر باکتری اشريشيا كلى از خود نشان دادند. در مجموع، این پژوهش نشان می‌دهد که فیلم نشاسته کاساوا و ژلاتین، به همراه نانو دی اکسید تیتانیوم پتانسیل خوبی را به عنوان فیلم‌های فعال دارد.

نایابی اکسید تیتانیوم از طریق کاهش سرعت رشد و طولانی کردن فاز تاخیری میکروارگانیسم‌ها و یا غیرفعال کردن، سبب نابودی میکروارگانیسم‌ها می‌گردد. غلظت ۵ درصد نانو دی اکسید تیتانیوم بیشترین سطح بازدارندگی نسبت به باکتری اشريشيا كلى را نشان می‌دهد. همان‌گونه که مشاهده می‌شود با افزایش محتوی نانو ذرات سنتیک رشد میکروبی بهطور قابل توجهی کاهش پیدا می‌کند. بنابراین می‌توان گفت که فیلم‌های حاوی این نانو ذرات می‌توانند همانند یک بسته بندی فعال علوه بر این که خوراکی هستند خاصیت ضد میکروبی خوبی را در برابر باکتری اشريشيا كلى از خود نشان دادند. در مجموع، این پژوهش نشان می‌دهد که فیلم نشاسته کاساوا و ژلاتین، به همراه نانو دی اکسید تیتانیوم پتانسیل خوبی را به عنوان فیلم‌های فعال دارد.

۴- نتیجه گیری

در پژوهش حاضر نانو دی اکسید تیتانیوم در غلظت‌های بین

منابع

- plastics from agro-wastes for food packaging applications. 2017, Academic Press. 223-263.
- [3] Battisti, R., N. Fronza, Á. Vargas Júnior, S.M.d. Silveira, M.S.P. Damas, and M.G.N. Quadri. (2017). Gelatin-coated paper with antimicrobial and antioxidant effect for beef packaging. *Food Pack. Shelf Life*,
- [1] Heydari, A., I. Alemzadeh, and M. Vossoughi. (2013). Influence of glycerol and clay contents on biodegradability of corn starch nanocomposites. *Int. J. Eng., Trans. B: App.*, 27203-214.
- [2] Gonçalves de Moura, I., A. Vasconcelos de Sá, A.S. Lemos Machado Abreu, and A.V. Alves Machado, *Bio-*



- خواص فیلم های نشاسته حاوی نانو دی اکسید تیتانیوم
- [13] Almasi, H., B. Ghanbarzadeh, and N.A. Pezeshki. (2009). Improving the physical properties of starch and starch–carboxymethyl cellulose composite biodegradable films. *Iranian J. Food Sci. Tech.*, 6(3), 1-11.
- [14] ASTM. (2010). Standard test method for tensile properties of thin plastic sheeting, D882, Annual Book of ASTM standards, American Society for Testing & Materials, Philadelphia, PA, USA.
- [15] ASTM. (2005). Standard test methods for water vapor transmission of materials, E96/E96M-05. Annual book of ASTM standards, American Society for Testing & Materials, Philadelphia, PA, USA.
- [16] Maizura, M., A. Fazilah, M.H. Norziah, and A.A. Karim. (2007). Antibacterial activity and mechanical properties of partially hydrolyzed sago starch–alginate edible film containing lemongrass oil. *J. Food Sci.*, 72(6), 324-330.
- [17] Kiatkamjornwong, S., W. Chomsaksakul, and M. Sonsuk. (2000). Radiation modification of water absorption of cassava starch by acrylic acid/acrylamide. *Radiat. Phys. Chem.*, 59(4), 413-427.
- [18] ASTM. (2005). Standard test method for oxygen gas transmission rate through plastic film and sheeting using a coulometric sensor, D3985. *Annual book of ASTM standards*, American Society for Testing & Materials, Philadelphia, PA, USA.
- [19] Lin, W., Y. Xu, C.-C. Huang, Y. Ma, K.B. Shannon, D.-R. Chen, and Y.-W. Huang. (2009). Toxicity of nano- and micro-sized ZnO particles in human lung epithelial cells. *J. Nanoparticle Res.*, 11(1), 25-39.
- [20] Maizura, M., A. Fazilah, M.H. Norziah, and A.A. Karim. (2007). Antibacterial activity and mechanical properties of partially hydrolyzed sago starch-alginate edible film containing lemongrass oil. *J. Food Sci.*, 72(6), 324-330.
- [21] Nafchi, A.M., A.K. Alias, S. Mahmud, and M. Robal. (2012). Antimicrobial, rheological, and physicochemical properties of sago starch films filled with nanorod-rich zinc oxide. *J. Food Eng.*, 113(4), 511-519.
- [22] Nouri, L. and A.M. Nafchi. (2014). Antibacterial, mechanical, and barrier properties of sago starch film incorporated with betel leaves extract. *Int. J. Biol. Macromol.*, 66, 254-259.
- [23] Nafchi, A.M., M. Moradpour, M. Saeidi, and A.K. Alias. (2014). Effects of nanorod-rich ZnO on rheological, sorption isotherm, and physicochemical properties of bovine gelatin films. *LWT-Food Sci. Tech.*, 58(1), 142-149.
- [24] Heydari, A., I. Alemzadeh, and M. Vossoughi. (2013). Functional properties of biodegradable corn starch nanocomposites for food packaging applications. *Mat. Des.*, 50954-961.
- [25] Shaili, T., M.N. Abdorreza, and N. Fariborz. (2015). Functional, thermal, and antimicrobial properties of soluble soybean polysaccharide biocomposites reinforced by nano TiO₂. *Carbohydr. Polym.*, 134, 726-731.
- [26] Nassiri, R. and A. MohammadiNafchi. (2013). Antimicrobial and barrier properties of bovine gelatin films reinforced by nano TiO₂. *J. Chem. Health Risks*, 3(3), 12-28.
- [27] Marvizadeh, M.M., A.M. Nafchi, and M. Jokar. (2014). Improved physicochemical properties of tapioca starch/bovine gelatin biodegradable films with zinc oxide nanorod. *J. Chem. Health Risks*, 4(4), 25-31.
- [28] Skocaj, M., M. Filipic, J. Petkovic, and S. Novak. (2011). Titanium dioxide in our everyday life; is it safe?. *Radiology Oncology*, 45(4), 227-247.
- [29] Weir, A., P. Westerhoff, L. Fabricius, and N. von Goetz. (2012). Titanium dioxide nanoparticles in food and personal care products. *Environ. Sci. Tech.*, 46(4), 11, 115-124.

- starch/clay nanocomposites: Thermal, water-sorption, and oxygen-barrier properties. *J. App. Polym. Sci.*, 112(4), 2044-2056.
- [30] Li, J.H., R.Y. Hong, M.Y. Li, H.Z. Li, Y. Zheng, and J. Ding. (2009). Effects of ZnO nanoparticles on the mechanical and antibacterial properties of polyurethane coatings. *Prog. Org. Coat.*, 64(4), 504-509.
- [21] Yu, J., J. Yang, B. Liu, and X. Ma. (2009). Preparation and characterization of glycerol plasticized-pea starch/ZnO-carboxymethylcellulose sodium nanocomposites. *Bioresour. Technol.*, 100(11), 2832-2841.
- [22] Tunc, S., H. Angellier, Y. Cahyana, P. Chalier, N. Gontard, and E. Gastaldi. (2007). Functional properties of wheat gluten/montmorillonite nanocomposite films processed by casting. *J. Membr. Sci.*, 289(1-2), 159-168.
- [23] Hosseini, S.F., M. Rezaei, M. Zandi, and F.F. Ghavi. Preparation and functional properties of fish gelatin-chitosan blend edible films. *Food Chem.*, 136(3-4), 1490-1495.
- [24] Yu, D., R. Cai, and Z. Liu. (2004). Studies on the photodegradation of Rhodamine dyes on nanometer-sized zinc oxide. *Spectrochim. Acta, Part A*, 60(7), 1617-1624.
- [25] Thellen, C., C. Orroth, D. Froio, D. Ziegler, J. Lucciarini, R. Farrell, N.A. D'Souza, and J.A. Ratto. (2005). Influence of montmorillonite layered silicate on plasticized poly(l-lactide) blown films. *Polym.*, 46(25), 11716-11727.
- [26] Tang, J., Y. Wang, H. Liu, and L.A. Belfiore. (2004). Effects of organic nucleating agents and zinc oxide nanoparticles on isotactic polypropylene crystallization. *Polym.*, 45(7), 2081-2091.
- [27] de Moura, M.R., L.H.C. Mattoso, and V. Zucolotto. (2012). Development of cellulose-based bactericidal nanocomposites containing silver nanoparticles and their use as active food packaging. *J. Food Eng.*, 109(3), 520-524.
- [28] Sothornvit, R. and N. Pitak. (2007). Oxygen permeability and mechanical properties of banana films. *Food Res. Int.*, 40(3), 365-370.
- [29] Zeppa, C., F. Gouanv  , and E. Espuche. (2009). Effect of a plasticizer on the structure of biodegradable